

九州 大学 工学部 正会員 上田 幸比古
九州産業大学 工学部 正会員 〇形尾 哲

1. まえがき

本報は、上面が水平で均一な透水性の海水館和地盤中に、井戸を設け、井戸から淡水を圧力注入した場合の淡水域界面について種々検討したものである。この注入された淡水の三次元軸対称流れを厳密に解くことは困難であるから、暗きよからうの淡水注入の場合に検討した近似解析法、すなむち、淡水域界面より外側の海水と、同じ圧力分布をもつ淡水にみきかえ、この淡水が垂直上方へ向うボテンシナル分布と同じであることから、淡水の垂直上方流を井戸からの流出流れに重ね合せて解析する手法を用いた。

2. 解析

井戸の先端からの流出流れを、三次元の流入流出束間のボテンシナル流れと考え、これにX軸方向の平行流動を加えると、速度ボテンシナルは

$$\Psi = -g_0 x + \frac{Q}{4\pi} \left(\frac{1}{\sqrt{(x+a)^2 + r^2}} - \frac{1}{\sqrt{(x-a)^2 + r^2}} \right) + \bar{\Psi}_0 h \quad \text{--- (1)}$$

ストークスの流れ関数を虫と多くと $\frac{\partial \Psi}{\partial r} = R \cdot \frac{\partial \Psi}{\partial x}$ より

$$\Psi = \int \frac{\partial \Psi}{\partial x} R dR = -\frac{1}{2} g_0 R^2 + \frac{Q}{4\pi} \left\{ \frac{x+a}{\sqrt{(x+a)^2 + r^2}} - \frac{x-a}{\sqrt{(x-a)^2 + r^2}} \right\} \quad \text{--- (2)}$$

いま、流出束のまわりにできる等ボテンシナル線群のうち、中心位置が井戸の先端 ($x = -d$) にあり、井戸の半径 r_0 と同じ半径をもつ等ボテンシナル線について考えると

$$\Psi(x = -d + r_0, r = 0) = \Psi(x = -d - r_0, r = 0) \quad \text{の条件より}$$

$$2g_0 r_0 = \frac{Q}{4\pi} \left(\frac{1}{a-d+r_0} - \frac{1}{a+d-r_0} + \frac{1}{a-d-r_0} + \frac{1}{a+d+r_0} \right) \quad \text{--- (3)}$$

$$\text{また } \Psi(x = -d + r_0, r = 0) = \bar{\Psi}_0 \left\{ \frac{P}{\omega} + \chi \right\} = \bar{\Psi}_0 (\Delta H + \bar{\chi}) \text{ より}$$

$$Q = \frac{2\pi \{ \bar{\Psi}_0 H - g_0(d - r_0) \}}{d - r_0} \quad \text{--- (4)}$$

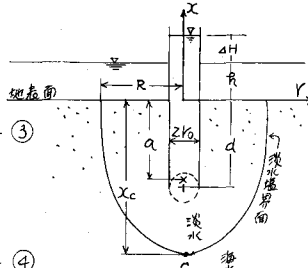


図-1

定常状態の淡水域界面下端Cの座標を ($x_C, 0$) とすると、C点は凝み点 ($(\frac{\partial \Psi}{\partial x}) = 0$) であることから

$$-g_0 + \frac{Q}{4\pi} \left\{ \frac{1}{(x_C - a)^2} - \frac{1}{(x_C + a)^2} \right\} = 0 \quad \text{--- (5)}$$

また、C点のボテンシナルは地盤中の海水のボテンシナル [$\Psi = \bar{\Psi}_0 h - \bar{\Psi}_0 \chi x$] と同値であり

$$\Psi(x = x_C, r = 0) = \bar{\Psi}_0 h + \bar{\Psi}_0 \chi x_C \text{ とおいて整理すると}$$

$$a^2 - \frac{Q}{2\pi} \frac{a}{x_C (g_0 - \bar{\Psi}_0 \chi)} - x_C^2 = 0 \quad \text{--- (6)}$$

もう3。(1)式、(2)式、(3)式、(5)式を連立させて解くと、 a 、 Q 、 g_0 、 x_C の値が決定される。

次に淡水域界面の形状は、 $\Psi = 0$ の流線が示される。

$$-g_0 \frac{r^2}{2} + \frac{Q}{4\pi} \left(\frac{x+a}{\sqrt{(x+a)^2 + r^2}} - \frac{x-a}{\sqrt{(x-a)^2 + r^2}} \right) = 0$$

これから地表面での r の値を R とすると、

$$-\rho_0 \frac{R^2}{Z} + \frac{Q}{2\pi c} \frac{a}{\sqrt{a^2 + R^2}} = 0 \quad \text{--- (7)}$$

3. 実験結果との比較

以上の近似解結果を数値計算し、これを前記水槽による砂モデルの実験結果と比較すると、図-2,3のようになる。図-2は、井戸の代りに球を設け、球より淡水を地盤中に注入した場合について示したものである。これは図-1に示したように、解析が球状の等ボテンシャル線について行なったものであるから、最も解に近い境界条件の実験といえる。この実験結果を解析結果と比較すると、解析結果の方が曲線に3,4,5,6,7,8分のあることがわかった。すなはち定常状態に近づくにつれ、地表面付近で多孔の拡散が生じ、横方向にいくぶん伸長してゆくが、全体的にはよく合っているといえよう。次に図-3は図-2の球と同じ半径の井戸を設け、平らな井戸の底面から淡水を注入した場合について示したものである。この実験結果を解析結果と比較すると、深さ方向、横方向とともにわずかばかり大きくなっている。また曲線形状は、球の場合よりもよく合っている。ここに、球の場合には、淡水は球の全周囲から地盤中に注入されるが、井戸の場合には、井戸の底から、下方に向のみ注入される。そのため、淡塩境界面両端部の流れは、井戸の場合実験と解析どおり、淡塩境界面の形状も大きく異なると予測していた。このことを考慮すると実験結果はよく合っている。逆に、近次解析の妥当性が確かめられたものと考える。

文末に付し下が、本研究は昭和49年度文部省科学研究費の補助を受けた。ここに記して関係各位に謝意を表する。また本実験は北澤大千先生、田中、岡上、兩君に負う所が多い、あわせて謝意を表す。

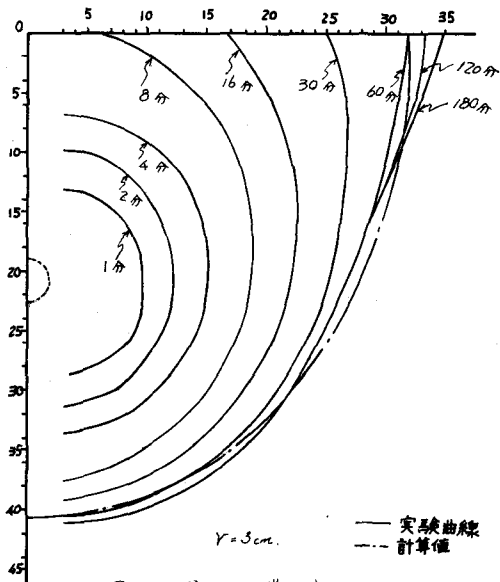


図-2 球からの淡水注入

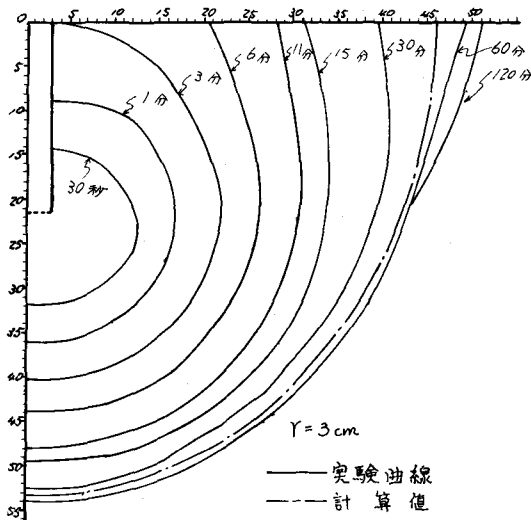


図-3. 井底からの淡水注入

参考文献；上田・杉尾：暗きよから淡水注入による

淡塩境界面の解析、工木学会論文報告集 No.225, P.43~P.52, 昭和49年5月

佐々木達次郎：完全流体の流体力学、P.104~P.110、金原出版、昭和29年。